

微特电机
学术报告会
一九七九年 上海

WEITEDIANJI
XUESHUBAOGAOHU
SHANGHAI 1979

论文集

上

中国电子学会元件专业学会

编　　辑　　前　　言

《微特电机学术报告会》自发函征文启事后，先后收到各单位送审的稿件共七十余篇，为供会议交流和讨论，现将其中四十九篇汇编成会议录上、下集。

由于印刷条件限制，尚有卫分来稿太远、文字太长、已多次刊载他刊或与本会关系不大的稿件未选入，对此，我们表示歉意。

会议录所选的稿件并非全是大会宣读的论文报告，且其目录次序，并无规律，更不按优次排列，特此说明。

编集时，对尾稿中一些笔误、错、漏和模糊不清之处，虽作过卫分编辑处理，但大多仍按尾稿付印，且由于编辑、校对、印刷仓促，其中难免有错误，特相互指正。

一九七九年六月

- 永磁低速同步电动机力矩的商明计算 高云峰
高精度度的直流传送速度电路 蒋开诚
单相反多相反应式感应同步电动机性能对比
以及主要尺寸分析 汪国梁
微特电机转子、定子(冲片)槽型的侧导油渠设计
——兼谈形位公差在冲片圆分度中的应用 工庆法

目 录

无刷直流电动机在卫星姿态控制系统中的应用	金如麟	1
应用复合相对参数的永磁直驱电机	耿正群	25
综合考虑去在旋转变压器坐标变换中的应用		
——异步电容减速式同步电动机起动的一些问题	卓忠强	56
采用GTO元件的内平步进电机驱动单元	天津大学	80
大内平步进电机驱动电源	朱煜良, 阎康林	101
稀土永磁高速同步发电机	唐仁连等	110
永磁步进电机与无刷直流电机的性能比较 及最佳性能	弗 捷	123
· 电机电传动所订有限元法	屠关虹	161
低速同步电机谐波力矩分析及噪音、瞬时 转速稳定性研究		
碳化钛陶瓷全丁丁6 在微电机上的应用	鄂峻膺	187
电容减速式同步电动机的起动问题	叶锐华	209
电容感应式内平步进电动机的合理设计	邱培基	222
直流微电机主尺寸标注公式探讨	李献默	235
伺服电机脉冲调宽控制方法分析	顾连庭	247
不同尺寸隙单相永磁步进电动机的研究	付佩深	258
转动惯量的测量	王宗培等	286
无刷直流电机永磁体	许介昌	324
永磁直驱风力发电机组关键技术的探讨	龙 三	335
内平步进电机研制报告	初振海	335
无接触式自整角机适当增大气隙对改善工 作性能的影响	天津大学	360
无齿同轴机内平步进电机	王庆连	377
提高步进机响应速度的若干问题	石定机	386
无接触式自整角机质阻可靠性与电刷压力均 匀性的改进	石定机	394
	侯文清等	402

控制电机的统一理论	王振东
无齿同步电动机气隙电势	陆东平、高国安
LW160-50 霍尔无刷直流力矩电机 用倾角特性法测高速低惯量电动机的 机械时间常数	沈正亚
应用微相位频技术的连接角度编码系 统	王宏保、柯惠新
全阻合法用于无刷同步机的高精度测 试	耿 彦
无刷直流电机的电磁设计	陈元基等
无刷直流电动机的一般公式及主要参数 着重无刷特性能转压和误差分析及各相计 算方法	蒋庆伦
二极磁场的固体模拟	潭宜武
被复合全起高温退火	徐英杰
电机转速稳定的几个问题	仇光正
电机铁芯蒸煮法及处理对提高电气质量 和电机制能的影响	柏汉迪
洁净市无油及共应用	欧阳楷
无刷制造整体阳模的技术	耿世德
伺服电动机时间常数的瞬时测量法	陈景华
永磁电机如何合理设计	常士青
场型录音机驱动电机在速度中的剩磁	胡立明
电桥参数分析	刘力平、吴惠忠
用闪光法在直槽槽口上测转子组 件不同轴度的精度估计	江德仪
直流测速发电机电刷研磨与运行试验分 析	陈生宇
永磁无刷电动机主极材料和换向器 电刷	顾桂康
三相伺服电动机的转速控	郭若愚、 郭炳翰

无刷直流电动机在卫星姿态控制系统中的应用

上海交通大学

本文就我们为风云一号气象卫星研制的姿态控制反作用飞轮装置作一总结。在我国尚属首次试制，我们配合卫星的试验星研制阶段，先后提供了试验机和初样机，在贮百各种模拟试验，性能良好。

一、概述

1. 姿态控制的目的和方式

自50年代初期第一颗人造卫星发射以来，空间技术得到迅猛发展。目前空间技术已发展成为一门独立的学科。从军用侦察卫星发展到气象卫星、资源勘测技术卫星、天文卫星、应用技术卫星、通信卫星等众多用途卫星。所发射卫星寿命从最初几天发展到几周、几个月、几年，例如同步通信卫星甚至需要长达五年以上的寿命。

以上卫星要能正常工作就必须使卫星对某天体维持确定的姿态或能被预定的指令改变姿态。这就是姿态控制的目的。提高姿态控制的精度和寿命是当前迫切的课题。卫星在太空受到空气动力力矩、重力梯度力矩、地球磁场所产生的力矩及太阳辐射压力力矩等干扰力矩的影响。它们的大小与卫星轨道高度、卫星重量尺寸、形状及惯性矩等多种因素有关。一般说来，低高度卫星主要受空气动力力矩的影响，中高度卫星主要受重力梯度力矩和地球磁场所产生的力矩的影响，高高度卫星主要受太阳辐射压力力矩的影响。表1给出了有关数据，虽然数据很小，但在太空卫星尽无空气摩擦阻力的情况下，仍足以改变卫星的姿态。

表1 干扰力矩数据

卫星 项目	风云一号气象卫星
空气动力 力矩	可忽略
重力梯度 力矩	0.08克·厘米
地球磁场 力矩	0.14克·厘米
太阳辐射压 力力矩	可忽略

为了实现姿态控制，装置必须产生控制力矩以克服干扰力矩的影响，目前认为产生姿态控制力矩的方式主要有表2所示的两大类。

表2 产生控制力矩的方式

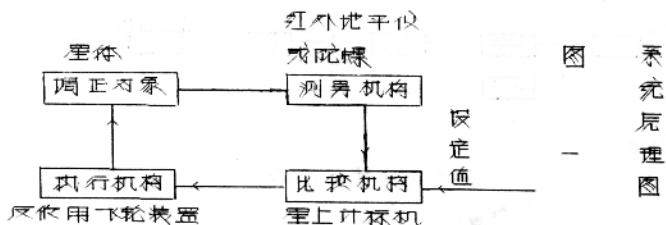
类别	I角动量放送（即质房喷射）	II角动量交换（即角动量储存）
	冷气喷射	反作用飞轮
	热气喷射	动量飞轮
	离子喷射	控制力矩陀螺

第Ⅱ类方式可以在姿态调整时而精度高，由于不受喷气房的限制、电磁阀开关次数的限制，因而寿命长，得到广泛的应用。

2. 三轴反作用飞轮姿态控制系统

本系统是一个闭环的自动调节系统，反作用飞轮作为姿态控制的执行机构。

见图1



在卫星的滚动、俯仰反偏航三轴上分别装有反作用飞轮和姿态敏感器（即测角机构）构成三轴独立的系统进行姿态控制。

它利用增减飞轮转速或改变飞轮转向，对星体产生不同大小和方向的反作用控制力矩，从而补偿干扰力矩的影响，大下分的干扰力矩是周期性变化的，平均值几乎等于零，反作用飞轮旋转速度相应地依周期性的增减，使卫星姿态保持恒定，可是干扰力矩平均值不都为零，偏差积累起来，足以使旋转速度增大到最大值，这时必须喷气放气行动，使飞轮转速离开最大值，这种操作称为去饱和，因此本系统采用的是三轴反作用飞轮+喷气的方式。系统示意图见图2。

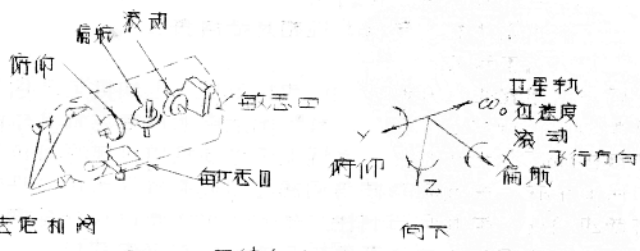


图2 三轴反作用
飞轮示意图

根据气象卫星质测仪的要求，本姿态控制系统转度为每丁轴机械偏差 $\leq \pm 1^\circ$ ，为保证云图清晰度，三丁轴的转率 $< 0.05^\circ/\text{秒}$ 。

每丁轴的系统方块图如图3所示。（以俯仰为例）

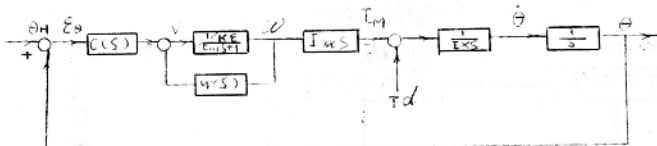


图3 条款方块图

θ_H —— 卫星俯仰红外地平仪纵面噪声

ε_θ —— 卫星俯仰红外地平仪纵面的姿态误差信号

K_E —— 反电势常数

T_m —— 飞轮时间常数

I_m —— 飞轮转动惯量

ω —— 飞轮角速度

$T_{S\pm}$ —— 飞轮输出力矩

$T_{S\pm}$ —— 常值干扰力矩

$I_{x\pm}$ —— 卫星俯仰轴转动惯量

θ —— 卫星俯仰角

$\dot{\theta}_H$ —— 卫星俯仰角速度

C_{PSI} —— 前向补偿网络

W_{LF} —— 飞轮速度反馈网络

二、反作用飞轮主要技术规格及结构特点

1. 技术规格

反作用飞轮由飞轮和驱动电动机组成。电动机定子固定在卫星相应的轴线上。星上还有太阳能电池供电，而且环境真至度达 $10^{-9} \sim 10^{-11}$ 牛·秒，常规直流电动机的机械换向将引起换向火花、换向噪音振等问题。因此本方案采用了具有良好启动特性、低速调节特性、无须维护保养以及没有换向火花引起的无缘电干扰等突出优点的无刷直流电动机。

$$\text{反作用飞轮的机械时间常数 } T_m = \frac{I_m \cdot \omega}{T_{S\pm}}$$

式中 I_m —— 飞轮转动惯量

ω —— 电动机空载角速度

$T_{S\pm}$ —— 电动机输出力矩

为了缩短过渡过程，我们选择了较大的啟动力矩。
最大启动力矩与去饱和时间间隔有如下关系。

$$\ln \frac{W_0}{W_t} = \int^T_{T_d} T_a dt \quad <2>$$

式中 T_d 常值于扰力矩和

T 每两次去饱和的时间间隔，

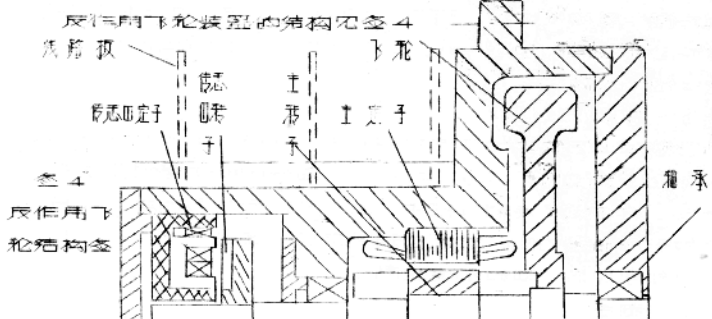
可见如果 T_d 小，时间间隔过大，喷气量增多，喷气次数增多，将影响系统的精度及可靠性。而 T_d 太小的话，将使能耗及寿命增加，过高的 T_d 还会影响轴承的寿命。我们最后确定的技术规格见表 3。

表 3 技术规格

卫星名称	风云一号气象卫星
项目	
电源电压 V_N	28 伏
啟动力矩 T_{St}	牛·400 克·厘米
空载转速 n_0	2500 转/分
最大启动力矩	10000 克·厘米·秒
控制方式	速度控制、修正、反转、调速范围 ±10% ~ ±100%，调速特性随控制电压线性变化。

此外，旋转器在 $10^{-7} \sim 10^{-11}$ 瓦高真空中必须能运行十年以上，同时能承受卫星发射过程中的振动、冲击、离心等力学条件的考验。

2 结构特点



它由电动机、飞轮以及安装在机壳外的取块环形线路板组成。

a. 电动机

电动机是电子换向式的无刷直流电动机，主定子由0.2毫米G D 41硅钢片叠压而成，从底面减小力矩，定子为1.5槽；铁有三相短距绕组，按星形连接。这样的分段槽布置可减小较小气隙时的齿谐波影响。主转子采用无槽形立式磁钢，充成两极，由于带有飞轮，转动惯量大，所以本电机能克服通常无刷直流电动机力矩波动较大的影响。为了减少噪声，减少故障率，本电机采用最简单的三相星形绕组连接，非桥式电子开关电路，即所谓一相看做三相二状态。

传感中采用了抗震性强，输出幅度大而稳定的霍尔式传感器，我们采用了便于加工的轴向气隙装配式结构。传感中转子把 135° 的Mx——2000高导磁铁氧体扇形片用环氧树脂浇铸在非磁性金属基座上，同主转子同轴。传感中定子由Mx——2000高导磁铁氧体浇铸而成，为方便地给正反向控制仅需，我们将M型磁芯用环氧树脂浇铸在胶木的元环座上，在齿内无磁芯上跨过大了齿统有共同的励磁线圈，而在外圆相隔 60° 的六个磁芯齿上绕着仅有铁心，传感中定子是六个有公共尾边激励的含有气隙的交叉孔，若1、3、5仅供给正向时，电动机正转，则当2、4、6仅供给反向时，电动机反转。它方便地将通常所需的正、反向二套传感中合併成一套，体积积紧凑。这种M型磁芯成型方便，通用性亦强，可用许多种形式，定、转子传感中磁芯端面都经磨削加工，以保证气隙均匀。我们选取了0.5mm的轴向气隙。

b. 飞轮

飞轮由比重较大的黄铜材料制成，外径150 mm，重约1.4 kg，转动惯量 $50.9 \text{ cm} \cdot \text{sec}^2$ ，轴向用四个螺钉紧固在压圈上，为减小发射过程中，由于共振而加剧的应力，将飞轮放置在轴承内侧，放大了轴承直径，选用了 $\varnothing 22 \times \varnothing 10$ ×8的轴承规格，轴的刚度较高。

c. 轴承

采用了滚动轴承干膜润滑方式，以保证高真空度下的寿命要求。

三 无刷直流感应电机的性能方程与停转函数

1 性能方程

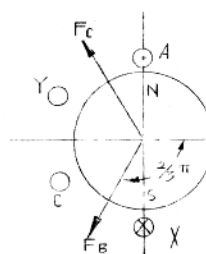
众所周知，直流感应电机的电压方程式为

$$V = I R_a + E \quad (3)$$

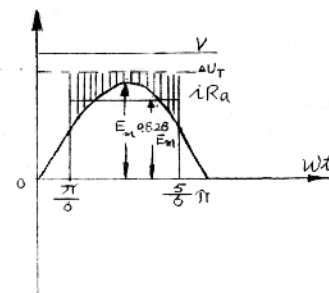
式中 V —— 电压 I —— 电枢电流

R_a —— 电枢电阻 E —— 反电势

无刷直流感应电机的各相绕组，按一定的逻辑关系依次导通，它的定子电枢磁场是脉冲式的，相电流是流动的，从而造成力矩波动，见图3。



a)



b)

三 5 无刷直流感应电机的原理及波形图

从一个二极，三相笼型星形连接，非桥式电子开关电路为例。假定气隙磁场按正弦规律分布，忽略绕组关断时的过程，忽略定子电感的影响，它的瞬时电压平衡方程式及平均电压不随时间变化分别为：

$$V - \Delta V_T = i R_a + E_m \sin \omega t \quad (4)$$

$$V - \Delta V_T = I_{av} R_a + E_{av} \quad (5)$$

$$E_{av} = 0.828 E_m \quad (6)$$

式中： V —— 电压

ΔV_T —— 换向开关管压降

I_{av} —— 电枢电流平均值

E_{av} —— 反电势平均值

E_m —— 反电势峰值

将式(3)与式(5)比较，可见若用平均值处理变化的电流，无刷直流电动机的电压方程式和一般直流电动机的电压方程式是完全相同的。众所周知，这两种电动机基本作用原理是相同的，但是我们认为它们之间还有下述的区别。
 a. 一般直流电动机的电枢磁场与主磁场在空间都是静止的，相对也是静止的。无刷直流电动机的电枢磁场在一极磁状态范围（如±120°）内是静止的，相对来说，主磁场是旋转的，因此电枢反应的影响是变化的。
 b. 一般直流电动机各支路的电流是完全一样的，而无刷直流电动机每组的那绕组和不导通的各相绕组电流是完全不同的。
 c. 直流电动机正在换向的绕组元件被电刷所短路，因此交变电流在电枢上的影响完全可以忽略。无刷直流电动机没有电刷，换流过程中电流突变在电压（有感或互感）上的影响不能忽略。基于上述分析，无刷直流电动机电压方程严格地应该按下述矩阵形式表示。

$$7) \quad \begin{pmatrix} V_1 \\ V_2 \\ \vdots \\ V_n \end{pmatrix} = \begin{pmatrix} R_1 & & & \\ & R_2 & & \\ & & \ddots & \\ & & & R_n \end{pmatrix} \begin{pmatrix} i_1 \\ i_2 \\ \vdots \\ i_n \end{pmatrix} + \begin{pmatrix} L_{11} & L_{12} & \cdots & L_{1n} \\ L_{21} & L_{22} & \cdots & L_{2n} \\ \vdots & \vdots & \ddots & \vdots \\ L_{n1} & L_{n2} & \cdots & L_{nn} \end{pmatrix} \begin{pmatrix} \frac{di_1}{dt} \\ \frac{di_2}{dt} \\ \vdots \\ \frac{di_n}{dt} \end{pmatrix} + \frac{d\phi}{dt} \begin{pmatrix} \frac{d\theta_1}{d\phi} \\ \frac{d\theta_2}{d\phi} \\ \vdots \\ \frac{d\theta_n}{d\phi} \end{pmatrix}$$

其中 n —— 绕组相数 V_n 第 n 相绕组两端电压
 R_n 第 n 相绕组电阻 L_{nn} 第 n 组绕组自感
 L_{ni} 第 n 相绕组与第 i 相绕组之间的互感
 i_n —— 第 n 相绕组电流瞬时值
 θ —— 转角 $\dot{\theta}$ —— 转子转速

2 传递函数

为了简化分析，我们仅将简化形式的方程式讨论，在动态过程。

$$U = i R_a + L \frac{di}{dt} + E \quad (\text{忽略开关管压降}) \quad < 8 >$$

$$E = k_E w$$

<9>

k_E —— 反电势常数

w —— 转子角速度

$$T = k_T i = T_m \frac{dw}{dt}$$

<10>

T —— 电磁转矩

k_T —— 转矩常数

I_m —— 转子转动惯量

$\frac{dw}{dt}$ —— 角加速度

由 <8> <9> <10> 三式可得

$$v = \frac{R_a I_m}{k_T} \frac{dw}{dt} + \frac{L I_m}{k_T} - \frac{d^2 w}{dt^2} + k_E w \quad <11>$$

按拉氏变换

$$\begin{aligned} \frac{w(s)}{v(s)} &= \frac{k_T}{s^2(LI_m) + s(R_a I_m) + k_E k_T} \\ &= \frac{1/k_E}{s^2(\frac{LI_m}{k_E R_T}) + s(\frac{R_a I_m}{k_E k_T}) + 1} \quad <12> \end{aligned}$$

$$T_m = \frac{R_a I_m}{k_E k_T} \quad \text{电动机机械时间常数}$$

$$T_e = -\frac{L}{R_a} \quad \text{电动机电气时间常数}$$

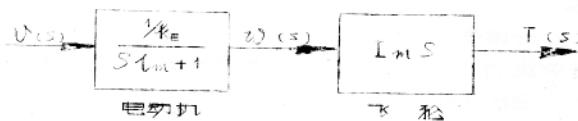
则 <12> 式可表示为

$$\frac{w(s)}{v(s)} = \frac{1/k_E}{s^2 T_m (s) + s (m+1)} \quad <13>$$

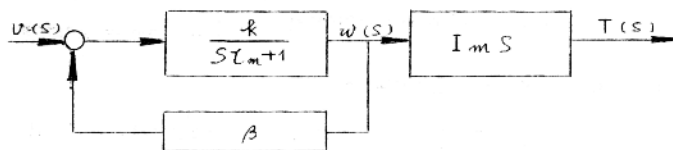
当 $T_m \gg T_e$ 时，(13) 式可简化为

$$\frac{w(s)}{v(s)} = \frac{1/k_E}{(s T_m + 1)(s T_e + 1)} = \frac{1/k_E}{s T_m + 1} \quad <14>$$

因此在恒定及缓变条件下飞船模型的方框图表示如下



当有速度反馈时（通常在速度控制中只用负反馈），设反馈率为 β ，则对一阶惯性环节，它的时间常数和放大系数都减小到原来的 $\frac{1}{1+\beta k}$ ($k = \frac{1}{T_m}$)，上述装置引入速度负反馈后的传递函数表示如下。



$$\frac{w(s)}{U(s)} = \frac{\frac{k}{1+k\beta}}{\frac{1}{m} s + 1} \quad <15>$$

四 电子线路

无刷直流电动机的电子换向线路能被位置传感器中的霍尔元件正确地使电机绕组以保证电机可逆运行。无刷直流电动机配备了适当的电子换向线路后就能得到许多优异的性能。使无刷直流电动机能适应多种用途。我们为反作用飞轮配备的无刷直流电动机的电子线路有以下特点。

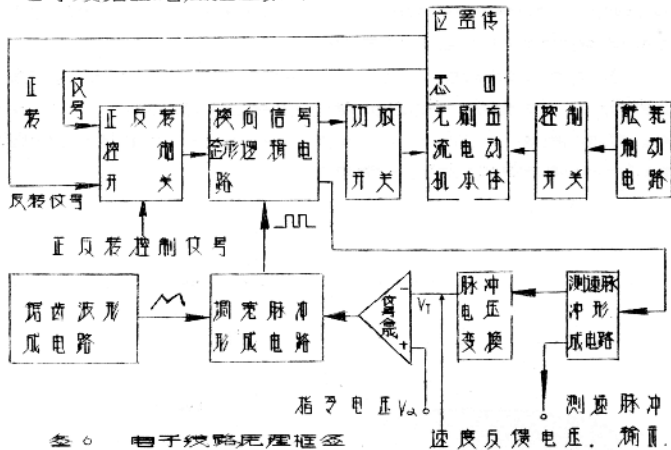
- ① 采用脉冲调速方法来调节电动机转速，因而功耗小，工作可靠。
- ② 电动机单元和相应的驱动板采用简单可靠的三相星形绕组一相导通二状态的工作方式。虽然，这样引起的电动机力矩波动较大，但因带有 $30(9 \cdot cm \cdot Sec^2)$ 的惯性负载，故相应的速度波动并不大，在气浮台上的系统模拟试验证明这种简单的功率电路完全能满足要求。
- ③ 用正反转二信号与通过一个位置开关在刹车方便地实现正反转。
- ④ 从位置传感器的输出仅需通过一定的逻辑处理，引出正比于转速的速度脉冲，它就可向系统输出速度脉冲信号，同时在速度控制中通过一定的逻辑作为速度负反馈用，从而省略了专门的测速装置。
- ⑤ 脉冲调速电路不用运算放大器构成所需电路，可以

方便地引入各种负反馈（例如速度反馈、电流反馈等）

⑥ 在电机减速过程中自动接通能耗制动线路，以保证在失电、高真空等环境条件下电机仍能较快的减速。

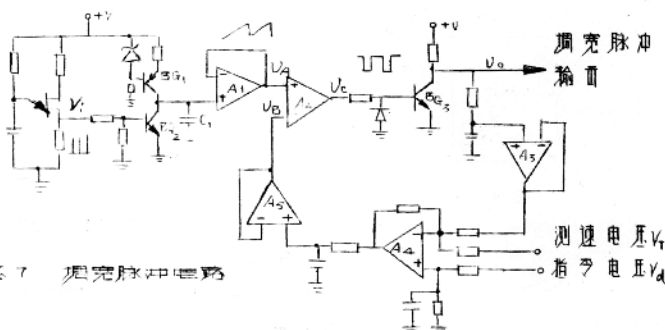
⑦ 异形及测速脉冲形成电路由 CMOS 集成电路，按照一定的逻辑关系组成，具有功耗小，抗干扰能力强，以及电压适用范围大等优点。

电子线路的原理框图如下：



下面就几个主要环节作一简略介绍

1. 脉宽脉冲形成



它包后锯齿波形成，仅与合成及比较中三丁主开关物

锯齿波形成电路中，用半控晶体管构成直激振荡中，其频率为 500 周左右。输出的尖脉冲经开关管 BG₂，短路导通，晶体管 BG₁ 构成一恒流源给电容 C₁ 充电，C₁ 的电压线性上升构成锯齿波的上升段，BG₂ 的短路导通给电容 C₁ 的电压迅速下降放电而构成锯齿波的下降段。

运放放大中 A₄ 构成仅与合成电路，指令电压 V_d 从同相端输入，速度反馈电压 V_T 从反相端输入，从而能方便地在基准电压中引入速度负反馈。

合成仅与经电压跟随器 A₅ 构成可调基准电压 V_B 送入比较中 A₂ 反相端，锯齿波电压经电压跟随器 A₁ 送入比较中 A₂ 的同相端，比较中 A₂ 的输出经 BG₃ 倒相整形后送至接向仅与逻辑电路进脉宽调速。

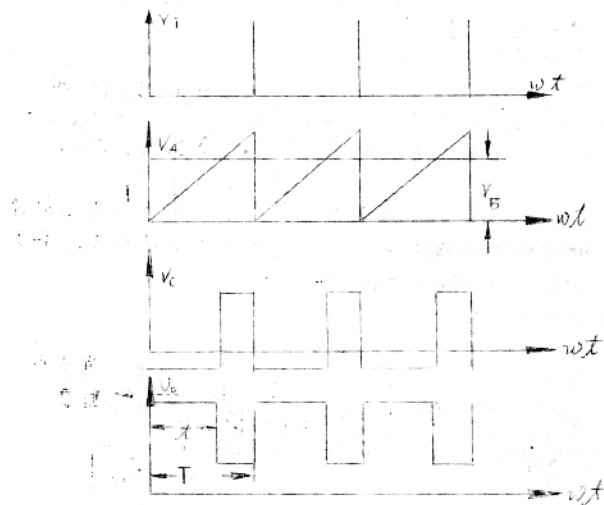


图 8 波形图

图 8 给出 V_d、V_B、U_T 及 U_o 各互波形，可忽略脉冲占空度 ($\frac{1}{T}$) 脉冲分压极正比变化。

按系统要求当 V_d 在 0 ~ 10 V 范围内变化时，输出脉冲占空度应在 0 ~ 100 % 范围内变化。